

Deklaracja Właściwości Użytkowych

DoP-10/0183-OCWS-48

1. Niepowtarzalny kod identyfikacyjny typu wyrobu:

OCWS-48



Zdjęcie przedstawia przykładowy produkt z danego typu wyrobu

2. Zamierzone zastosowanie lub zastosowania:

typ ogólny

Wkręty

do zastosowania w

Wkręty samowierzące do podłoży stalowych i blach

opcja/kategoria

statyczne

obciążenie

materiał

Łączniki OCWS, OCS, ONS oraz ODWS są wkrętami samowierzącymi. Wkręty samowierzące wykonane są ze stali odpornej na korozję. Wkręty skompletowane są z nierdzewnymi podkładkami stalowymi i uszczelkami EPDM.

3. Producent:

Rawlplug S.A.

ul. Kwidzyńska 6, 51-416 Wrocław, PL

www.rawlplug.com

4. System(-y) oceny i weryfikacji stałości właściwości użytkowych:

System 2+

5. Europejski dokument oceny:

EAD-330046-01-0602 Wkręty do mocowania elementów metalowych i blach

Kategorie użytkowe:

6. Europejska ocena techniczna:

ETA-10/0183 wydanie z dnia 2020-07-28

7. Jednostka ds. oceny technicznej:

Deutsches Institut für Bautechnik

8. Jednostka lub jednostki notyfikowane:

Instytut Techniki Budowlanej na podstawie:

- wstępnej inspekcji zakładu produkcyjnego i zakładowej kontroli produkcji
- kontynuacji nadzoru, oceny i ewaluacji zakładowej kontroli produkcji

wydała certyfikat **1488-CPR-0567/Z**

9. Deklarowane właściwości użytkowe:

Zasadnicze charakterystyki:

Specyfikacja techniczna	Podstawowe wymagania wg CPR		Uwagi:
ETA-10/0183	[1]	Odporność mechaniczna i stabilność	Deklarowane właściwości na stronie 2
	[4]	Bezpieczeństwo użytkowania	Takie kryteria jak ważne dla [1]

OCWS 4,8

 Zdolność przewiercania: $\Sigma t_i \leq 2,00$ mm

Podkonstrukcje drewniane: nie określono wydajności

$t_{n,II}$ [mm]	0,40	0,50	0,55	0,63	0,75	0,88	1,00	1,13	1,25	1,50	
$M_{t,nom}$	3 Nm					3,5 Nm					
$t_{N,I}$ [mm]	0,40	0,57	0,71	0,77	0,86	1,05	1,05	1,05	1,05	1,05	1,05
	0,50	0,57	0,88	0,94	1,07	1,05	1,05	1,05	1,05	1,05	1,05
	0,55	0,57	0,88	1,11	1,17	1,20	1,20	1,20	1,20	1,20	-
	0,63	0,57	0,88	1,11	1,34	1,34	1,34	1,34	1,34	1,34	-
	0,75	0,57	0,88	1,11	1,34	1,61	1,61	1,61	1,61	1,61	-
	0,88	0,57	0,88	1,11	1,34	1,61	2,01	2,01	-	-	-
	1,00	0,57	0,88	1,11	1,34	1,61	2,01	2,40	-	-	-
	1,13	0,57	0,88	1,11	1,34	1,61	-	-	-	-	-
	1,25	0,57	0,88	1,11	1,34	1,61	-	-	-	-	-
	1,50	0,57	0,88	-	-	-	-	-	-	-	-
1,75	-	-	-	-	-	-	-	-	-	-	
$V_{R,k}$ [kN] dla $t_{N,I}$ [mm]	0,40	0,35	0,45	0,51	0,62	0,81	1,04	1,29	1,49	1,49	1,49
	0,50	0,35	0,45	0,51	0,62	0,81	1,04	1,29	1,49	1,49	1,49
	0,55	0,35	0,45	0,51	0,62	0,81	1,04	1,29	1,49	1,49	-
	0,63	0,35	0,45	0,51	0,62	0,81	1,04	1,29	1,49	1,49	-
	0,75	0,35	0,45	0,51	0,62	0,81	1,04	1,29	1,49	1,49	-
	0,88	0,35	0,45	0,51	0,62	0,81	1,04	1,29	-	-	-
	1,00	0,35	0,45	0,51	0,62	0,81	1,04	1,29	-	-	-
	1,13	0,35	0,45	0,51	0,62	0,81	-	-	-	-	-
	1,25	0,35	0,45	0,51	0,62	0,81	-	-	-	-	-
	1,50	0,35	0,45	-	-	-	-	-	-	-	-
1,75	-	-	-	-	-	-	-	-	-	-	
$N_{R,k}$ [kN] dla $t_{N,I}$ [mm]	0,40	0,35	0,45	0,51	0,62	0,81	1,04	1,29	1,49	1,49	1,49
	0,50	0,35	0,45	0,51	0,62	0,81	1,04	1,29	1,49	1,49	1,49
	0,55	0,35	0,45	0,51	0,62	0,81	1,04	1,29	1,49	1,49	-
	0,63	0,35	0,45	0,51	0,62	0,81	1,04	1,29	1,49	1,49	-
	0,75	0,35	0,45	0,51	0,62	0,81	1,04	1,29	1,49	1,49	-
	0,88	0,35	0,45	0,51	0,62	0,81	1,04	1,29	-	-	-
	1,00	0,35	0,45	0,51	0,62	0,81	1,04	1,29	-	-	-
	1,13	0,35	0,45	0,51	0,62	0,81	-	-	-	-	-
	1,25	0,35	0,45	0,51	0,62	0,81	-	-	-	-	-
	1,50	0,35	0,45	-	-	-	-	-	-	-	-
1,75	-	-	-	-	-	-	-	-	-	-	

OCWS 5,5

 Zdolność przewiercania: $\Sigma t_i \leq 6,00$ mm

Podkonstrukcje drewniane: nie określono wydajności

$t_{n,II}$ [mm]	1,00	1,13	1,25	1,50	1,75	2,00	2,50	3,00
$M_{t,nom}$	3 Nm			4 Nm				4,5 Nm
$t_{N,I}$ [mm]	0,50	1,30	1,30	1,30	1,30	1,30	1,30	1,30
	0,55	1,36	1,36	1,36	1,36	1,36	1,36	1,36
	0,63	1,45	1,68	1,91	1,91	1,91	1,91	1,91
	0,75	1,69	1,88	2,08	2,13	2,18	2,18	2,18
	0,88	1,90	2,08	2,26	2,36	2,47	2,63	2,87
	1,00	2,11	2,24	2,42	2,59	2,74	3,08	3,57
	1,13	2,11	2,24	2,42	2,71	2,99	3,40	4,13
	1,25	2,11	2,24	2,42	2,83	3,23	3,72	4,70
	1,50	2,11	2,24	2,42	2,83	3,23	3,72	4,70
	1,75	2,11	2,24	2,42	2,83	3,23	3,72	4,70
2,00	2,11	2,24	2,42	2,83	3,23	3,72	4,70	
$V_{R,k}$ [kN] dla $t_{N,I}$ [mm]	0,50	1,30	1,30	1,30	1,30	1,30	1,30	1,30
	0,55	1,36	1,36	1,36	1,36	1,36	1,36	1,36
	0,63	1,45	1,68	1,91	1,91	1,91	1,91	1,91
	0,75	1,69	1,88	2,08	2,13	2,18	2,18	2,18
	0,88	1,90	2,08	2,26	2,36	2,47	2,63	2,87
	1,00	2,11	2,24	2,42	2,59	2,74	3,08	3,57
	1,13	2,11	2,24	2,42	2,71	2,99	3,40	4,13
	1,25	2,11	2,24	2,42	2,83	3,23	3,72	4,70
	1,50	2,11	2,24	2,42	2,83	3,23	3,72	4,70
	1,75	2,11	2,24	2,42	2,83	3,23	3,72	4,70
2,00	2,11	2,24	2,42	2,83	3,23	3,72	4,70	
$N_{R,k}$ [kN] dla $t_{N,I}$ [mm]	0,50	0,80	1,06	1,29	1,67	1,67	1,67	1,67
	0,55	0,80	1,06	1,29	1,79	1,92	1,92	1,92
	0,63	0,80	1,06	1,29	1,79	2,30	2,32	2,32
	0,75	0,80	1,06	1,29	1,79	2,30	2,81	2,93
	0,88	0,80	1,06	1,29	1,79	2,30	2,81	3,61
	1,00	0,80	1,06	1,29	1,79	2,30	2,81	3,85
	1,13	0,80	1,06	1,29	1,79	2,30	2,81	3,85
	1,25	0,80	1,06	1,29	1,79	2,30	2,81	3,85
	1,50	0,80	1,06	1,29	1,79	2,30	2,81	3,85
	1,75	0,80	1,06	1,29	1,79	2,30	2,81	3,85
2,00	0,80	1,06	1,29	1,79	2,30	2,81	3,85	

OCWS-5,5

Z łbem sześciokątnym i podkładką uszczelniającą $\geq \varnothing 16$ mm

Zdolność przewiercania: $\Sigma t_i \leq 6,00$ mm

Podkonstrukcje drewniane: nie określono wydajności

$t_{N,II}$ [mm]		2 x 0,63	2 x 0,75	2 x 0,88	2 x 1,00
$M_{t,nom}$		5 Nm			
$V_{R,k}$ [kN] dla $t_{N,I}$ [mm]	0,50	1,17	1,17	1,17	1,17
	0,55	1,17	1,17	1,17	1,17
	0,63	1,17	1,47	1,47	1,47
	0,75	1,17	1,47	1,60	1,74
	0,88	1,17	1,47	1,60	1,74
	1,00	1,17	1,47	1,60	1,74
	1,13	1,17	1,47	1,60	1,74
	1,25	1,17	1,47	1,60	1,74
	1,50	1,17	1,47	1,60	1,74
	1,75	1,17	1,47	1,60	1,74
2,00	1,17	1,47	1,60	1,74	
$N_{R,k}$ [kN] dla $t_{N,I}$ [mm]	0,50	1,03	1,41	1,67	1,67
	0,55	1,03	1,41	1,90	1,92
	0,63	1,03	1,41	1,90	2,32
	0,75	1,03	1,41	1,90	2,42
	0,88	1,03	1,41	1,90	2,42
	1,00	1,03	1,41	1,90	2,42
	1,13	1,03	1,41	1,90	2,42
	1,25	1,03	1,41	1,90	2,42
	1,50	1,03	1,41	1,90	2,42
	1,75	1,03	1,41	1,90	2,42
2,00	1,03	1,41	1,90	2,42	

ODWS-6,5

Zdolność przewiercania: $\Sigma t_i \leq 6,00$ mm

Podkonstrukcje drewniane: właściwości określono z $M_{y,Rk} = 9,742$ Nm; $f_{ax,k} = 11,070$ N/mm² dla $l_{af} \geq 25,0$ mm

$t_{N,II}$ [mm]		1,50	2,00	2,50	3,00	4,00	5,00		
$M_{t,nom}$		5 Nm							
$V_{R,k}$ [kN] dla $t_{N,I}$ [mm]	0,40	1,02	1,02	1,02	1,02	1,02	1,02	1,02	Wytrzymałość na wrywanie komponentu I
	0,50	1,34	1,34	1,34	1,34	1,34	1,34	1,34	
	0,55	1,47	1,47	1,47	1,47	1,47	1,47	1,47	
	0,63	1,71	1,71	1,71	1,71	1,71	1,71	1,71	
	0,75	2,23	2,23	2,23	2,23	2,23	2,23	2,23	
	0,88	2,86	2,86	2,86	2,86	2,86	2,86	2,86	
	1,00	3,52	3,52	3,52	3,52	3,52	3,52	3,52	
	1,13	3,52	3,52	3,52	3,52	3,52	-	3,52	
	1,25	3,52	3,52	3,52	3,52	3,52	-	3,52	
	1,50	3,52	3,52	3,52	3,52	3,52	-	3,52	
1,75	3,52	3,52	3,52	3,52	3,52	-	3,52		
$N_{R,k}$ [kN] dla $t_{N,I}$ [mm]	0,40	1,18	1,18	1,18	1,18	1,18	1,18	1,18	Wytrzymałość na przeciągnięcie komponentu I
	0,50	1,67	1,67	1,67	1,67	1,67	1,67	1,67	
	0,55	1,92	1,92	1,92	1,92	1,92	1,92	1,92	
	0,63	2,32	2,32	2,32	2,32	2,32	2,32	2,32	
	0,75	2,80	2,80	2,80	2,80	2,80	2,80	2,93	
	0,88	2,80	2,80	2,80	2,80	2,80	2,80	3,61	
	1,00	2,80	2,80	2,80	2,80	2,80	2,80	4,25	
	1,13	2,80	2,80	2,80	2,80	2,80	-	4,25	
	1,25	2,80	2,80	2,80	2,80	2,80	-	4,25	
	1,50	2,80	2,80	2,80	2,80	2,80	-	4,25	
1,75	2,80	2,80	2,80	2,80	2,80	-	4,25		

OCS-5,5

Z sześciokątnym łbem i podkładką uszczelniającą $\geq \varnothing 16$ mm

Zdolność przewiercania: $\Sigma t_i \leq 6,00$ mm

Podkonstrukcje drewniane: wytrzymałość określona z $M_{y,Rk} = 6,310$ Nm

$f_{ax,k} = 10,860$ N/mm² dla $l_{ef} \geq 25,0$ mm

$t_{N,II}$ [mm]	1,00	1,13	1,25	1,50	1,75	2,00	2,50	3,00			
$M_{t,nom}$	4 Nm			4,5 Nm			5 Nm				
$V_{R,k}$ [kN] dla $t_{N,I}$ [mm]	0,50	1,21	1,21	1,21	1,21	1,21	1,21	1,21	1,21	1,23	Wytrzymałość na wrywanie komponentu I
	0,55	1,29	1,29	1,29	1,29	1,29	1,29	1,29	1,29	1,29	
	0,63	1,42	1,42	1,42	1,50	1,57	1,57	1,57	1,57	1,57	
	0,75	1,60	1,60	1,60	1,75	1,90	1,90	1,90	1,90	2,15	
	0,88	1,76	1,76	1,76	2,01	2,26	2,26	2,26	2,26	2,26	
	1,00	1,88	1,88	1,88	2,24	2,59	2,59	2,70	2,81	2,81	
	1,13	1,88	1,88	1,88	2,43	2,98	2,98	3,20	3,42	3,42	
	1,25	1,88	1,88	1,88	2,62	3,37	3,37	3,70	4,03	4,03	
	1,50	1,88	1,88	1,88	2,62	3,37	3,37	3,70	4,03	4,03	
	1,75	1,88	1,88	1,88	2,62	3,37	3,37	3,70	4,03	4,03	
2,00	1,88	1,88	1,88	2,62	3,37	3,37	3,70	4,03	4,03		
$N_{R,k}$ [kN] dla $t_{N,I}$ [mm]	0,50	1,00	1,17	1,34	1,67	1,67	1,67	1,67	1,67	1,67	Wytrzymałość na przecignięcie komponentu I
	0,55	1,00	1,17	1,34	1,71	1,92	1,92	1,92	1,92	1,92	
	0,63	1,00	1,17	1,34	1,71	2,14	2,32	2,32	2,32	2,32	
	0,75	1,00	1,17	1,34	1,71	2,14	2,60	2,93	2,93	2,93	
	0,88	1,00	1,17	1,34	1,71	2,14	2,60	3,61	3,61	3,61	
	1,00	1,00	1,17	1,34	1,71	2,14	2,60	3,68	4,25	4,25	
	1,13	1,00	1,17	1,34	1,71	2,14	2,60	3,68	4,25	4,25	
	1,25	1,00	1,17	1,34	1,71	2,14	2,60	3,68	4,25	4,25	
	1,50	1,00	1,17	1,34	1,71	2,14	2,60	3,68	4,25	4,25	
	1,75	1,00	1,17	1,34	1,71	2,14	2,60	3,68	4,25	4,25	
2,00	1,00	1,17	1,34	1,71	2,14	2,60	3,68	4,25	4,25		

Powyższe wartości w zależności od głębokości gwintu l_{ef} odnoszą się do $k_{nod} = 0,90$ i klasy C24 ($\rho_a = 350$ kg / m³), dla innych wartości klas wytrzymałości drewna i k_{nod} drewna, patrz załącznik 3 (komponent II wykonany z drewna).

OCS-5,5

Łeb sześciokątny i podkładka uszczelniająca $\geq \varnothing 16$ mm

Podkonstrukcje drewniane: nie określono wydajności

$t_{N,II}$ [mm]		2 x 0,63	2 x 0,75	2 x 0,88	2 x 1,00
$M_{t,nom}$		4 Nm			
$V_{R,k}$ [kN] dla $t_{N,I}$ [mm]	0,50	1,23	1,23	1,23	1,23
	0,55	1,23	1,23	1,23	1,23
	0,63	1,23	1,51	1,51	1,51
	0,75	1,23	1,51	1,83	2,15
	0,88	1,23	1,51	1,83	2,15
	1,00	1,23	1,51	1,83	2,15
	1,13	1,23	1,51	1,83	2,15
	1,25	1,23	1,51	1,83	2,15
	1,50	1,23	1,51	1,83	2,15
	1,75	1,23	1,51	1,83	2,15
2,00	1,23	1,51	1,83	2,15	
$N_{R,k}$ [kN] dla $t_{N,I}$ [mm]	0,50	0,98	1,33	1,66	1,67
	0,55	0,98	1,33	1,66	1,92
	0,63	0,98	1,33	1,66	1,93
	0,75	0,98	1,33	1,66	1,93
	0,88	0,98	1,33	1,66	1,93
	1,00	0,98	1,33	1,66	1,93
	1,13	0,98	1,33	1,66	1,93
	1,25	0,98	1,33	1,66	1,93
	1,50	0,98	1,33	1,66	1,93
	1,75	0,98	1,33	1,66	1,93
2,00	0,98	1,33	1,66	1,93	

ONS-5,5

Łeb sześciokątny z podkładką uszczelniającą $\geq \varnothing 16$ mm

Zdolność przewiercania: $\Sigma t_i \leq 12,00$ mm

Podkonstrukcje drewniane: nie określono wydajności

$t_{N,II}$ [mm]		4,00	5,00	6,00	7,00	8,00	9,00	10,0	11,0
$M_{t,nom}$		7 Nm							
$V_{R,k}$ [kN] dla $t_{N,I}$ [mm]	0,50	1,38	1,38	1,38	1,38	1,38	1,38	1,38	1,38
	0,55	1,53	1,53	1,53	1,53	1,53	1,53	1,53	1,53
	0,63	1,85	1,85	1,85	1,85	1,85	1,85	1,85	1,85
	0,75	2,18	2,18	2,18	2,18	2,18	2,18	2,18	2,18
	0,88	2,76	2,76	2,76	2,76	2,76	2,76	2,76	2,76
	1,00	3,22	3,22	3,22	3,22	3,22	3,22	3,22	3,22
	1,13	3,55	3,55	3,55	3,55	3,55	3,55	3,55	-
	1,25	3,90	5,87	5,87	5,87	5,87	5,87	5,87	-
	1,50	4,53	6,63	6,63	6,63	6,63	6,63	6,63	-
	1,75	5,05	7,39	7,39	7,39	7,39	7,39	7,39	-
2,00	5,45	8,16	8,16	8,16	8,16	8,16	8,16	-	
$N_{R,k}$ [kN] dla $t_{N,I}$ [mm]	0,50	1,67	1,67	1,67	1,67	1,67	1,67	1,67	1,67
	0,55	1,92	1,92	1,92	1,92	1,92	1,92	1,92	1,92
	0,63	2,32	2,32	2,32	2,32	2,32	2,32	2,32	2,32
	0,75	2,93	2,93	2,93	2,93	2,93	2,93	2,93	2,93
	0,88	2,96	3,30	3,30	3,30	3,30	3,30	3,30	3,30
	1,00	2,96	3,30	3,30	3,30	3,30	3,30	3,30	3,30
	1,13	2,96	3,30	3,30	3,30	3,30	3,30	3,30	-
	1,25	2,96	3,30	3,30	3,30	3,30	3,30	3,30	-
	1,50	2,96	3,30	3,30	3,30	3,30	3,30	3,30	-
	1,75	2,96	3,30	3,30	3,30	3,30	3,30	3,30	-
2,00	2,96	3,30	3,30	3,30	3,30	3,30	3,30	-	

ONS-5,5

Łeb sześciokątny

Zdolność przewiercania: $\Sigma t_i \leq 12,00$ mm

Podkonstrukcje drewniane: nie określono wydajności

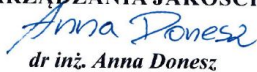
$t_{N,II}$ [mm]		4,00	5,00	6,00	7,00	8,00	9,00	10,0	11,0
$M_{t,nom}$		7 Nm							
$V_{R,k}$ [kN] dla $t_{N,I}$ [mm]	0,50	1,38	1,38	1,38	1,38	1,38	1,38	1,38	1,38
	0,55	1,53	1,53	1,53	1,53	1,53	1,53	1,53	1,53
	0,63	1,85	1,85	1,85	1,85	1,85	1,85	1,85	1,85
	0,75	2,18	2,18	2,18	2,18	2,18	2,18	2,18	2,18
	0,88	2,76	2,76	2,76	2,76	2,76	2,76	2,76	2,76
	1,00	3,22	3,22	3,22	3,22	3,22	3,22	3,22	3,22
	1,13	3,55	3,55	3,55	3,55	3,55	3,55	3,55	-
	1,25	3,90	5,87	5,87	5,87	5,87	5,87	5,87	-
	1,50	4,53	6,63	6,63	6,63	6,63	6,63	6,63	-
	1,75	5,05	7,39	7,39	7,39	7,39	7,39	7,39	-
2,00	5,45	8,16	8,16	8,16	8,16	8,16	8,16	-	
$N_{R,k}$ [kN] dla $t_{N,I}$ [mm]	0,50	1,40	1,40	1,40	1,40	1,40	1,40	1,40	1,40
	0,55	1,57	1,57	1,57	1,57	1,57	1,57	1,57	1,57
	0,63	1,81	1,81	1,81	1,81	1,81	1,81	1,81	1,81
	0,75	2,09	2,09	2,09	2,09	2,09	2,09	2,09	2,09
	0,88	2,09	2,09	2,09	2,09	2,09	2,09	2,09	2,09
	1,00	2,09	2,09	2,09	2,09	2,09	2,09	2,09	2,09
	1,13	2,09	2,09	2,09	2,09	2,09	2,09	2,09	-
	1,25	2,09	2,09	2,09	2,09	2,09	2,09	2,09	-
	1,50	2,09	2,09	2,09	2,09	2,09	2,09	2,09	-
	1,75	2,09	2,09	2,09	2,09	2,09	2,09	2,09	-
2,00	2,09	2,09	2,09	2,09	2,09	2,09	2,09	-	

Właściwości użytkowe określonego powyżej wyrobu są zgodne z zestawem deklarowanych właściwości użytkowych. Niniejsza deklaracja właściwości użytkowych wydana zostaje zgodnie z rozporządzeniem (UE) nr 305/2011 na wyłączną odpowiedzialność producenta określonego powyżej.

W imieniu producenta podpisać(-a)

Anna Donesz
Pełnomocnik Systemu Zarządzania Jakością
Wrocław, 30.09.2020.

PEŁNOMOCNIK SYSTEMU
ZARZĄDZANIA JAKOŚCIĄ

A handwritten signature in blue ink that reads "Anna Donesz".

dr inż. Anna Donesz